

1-1试证理想六方密堆结构中 $c/a=1.633$

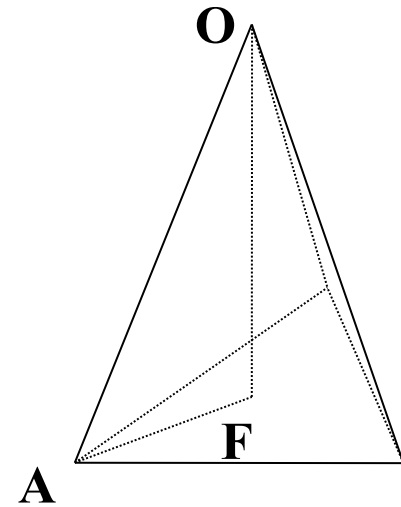
证：配位数12；

$$\text{令 } |OA| = a; |OF| = \frac{c}{2}$$

$$|AF| = \frac{2}{3} \times \frac{\sqrt{3}}{2} a = \frac{\sqrt{3}}{3} a;$$

$$|OF| = \frac{c}{2} = \sqrt{a^2 - \frac{1}{3}a^2} = a\sqrt{\frac{2}{3}} = \frac{\sqrt{6}}{3} a$$

$$\therefore \frac{c}{a} = \frac{2}{3}\sqrt{6} \approx 1.633$$



1—2若晶胞基矢 $\vec{a}, \vec{b}, \vec{c}$ 互相垂直，试求晶面族 (hkl) 的面间距。

解：令 $\vec{a} = a\vec{i}; \vec{b} = b\vec{j}; \vec{c} = c\vec{k}$ ；且 $V = a \cdot b \cdot c$

则：
$$\vec{b}_1 = \vec{b} \times \vec{c} \cdot \frac{2\pi}{V} = \frac{2\pi}{a} \vec{i};$$

$$\vec{b}_2 = \vec{c} \times \vec{a} \cdot \frac{2\pi}{V} = \frac{2\pi}{b} \vec{j};$$

$$\vec{b}_3 = \vec{a} \times \vec{b} \cdot \frac{2\pi}{V} = \frac{2\pi}{c} \vec{k}$$

那么, $\vec{G} = h\vec{b}_1 + k\vec{b}_2 + l\vec{b}_3 = 2\pi\left(\frac{h}{a}\vec{i} + \frac{k}{b}\vec{j} + \frac{l}{c}\vec{k}\right)$

$$\therefore d = \frac{2\pi}{|\vec{G}|} = \frac{1}{\sqrt{\left(\frac{h}{a}\right)^2 + \left(\frac{k}{b}\right)^2 + \left(\frac{l}{c}\right)^2}}$$

1—3若在体心立方晶胞的每个面中心处加上一个同类原子，试说明这种结构的基元应如何选取？其布拉菲晶格是什么格子？

解：将整个晶体看成是5个简单立方格子套构而成。

布拉菲格子：简单立方；

基元：顶点原子、体心、三个相邻面心

1—4试求面心立方结构的(111)和(110)面的原子面密度。

解：(111)面：顶点3个原子，每个1/6；

边上3个原子，每个1/2；

$$S_{111} = \frac{1}{2} \cdot \sqrt{2}a \cdot \frac{\sqrt{3}}{2} \cdot \sqrt{2}a = \frac{\sqrt{3}}{2} a^2$$

$$\therefore \text{面密度 } \sigma_{111} = \frac{3 \times \frac{1}{6} + 3 \times \frac{1}{2}}{\frac{\sqrt{3}}{2} a^2} = \frac{4}{\sqrt{3} a^2}$$

同理，(110)面：顶点4个原子，每个1/4；
边上2个原子，每个1/2；

$$S_{110} = \sqrt{2}a \cdot a = \sqrt{2}a^2$$

$$\therefore \sigma_{110} = \frac{4 \times \frac{1}{4} + 2 \times \frac{1}{2}}{\sqrt{2}a^2} = \frac{\sqrt{2}}{a^2}$$

1—5 设二维矩形格子的基矢为 $\vec{a}_1 = a\vec{i}$, $\vec{a}_2 = 2a\vec{j}$, 试画出头三个布里渊区。

解：倒格子基矢： $\vec{b}_1 = \frac{2\pi}{a}\vec{i}$, $\vec{b}_2 = \frac{\pi}{a}\vec{j}$

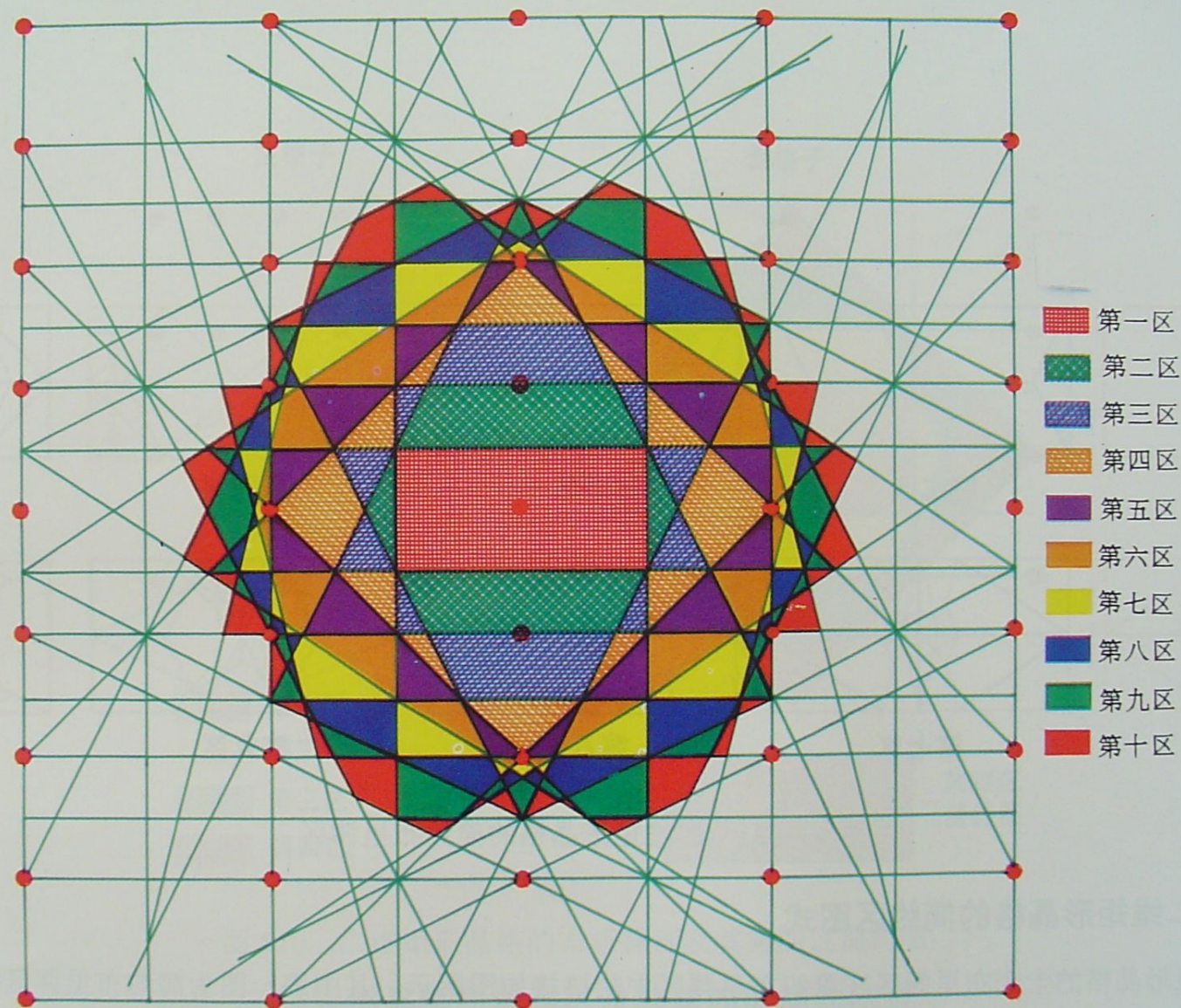


图 109(1) 二维矩形晶格的十个布里渊区的扩展区图式

109 - 1. 二维矩形晶格的十个布里渊区的扩展区图式

2007 12 2

1-6 六方密堆结构的原胞基矢为

$$\vec{a}_1 = \frac{a}{2} \vec{i} + \frac{\sqrt{3}}{2} a \vec{j};$$

$$\vec{a}_2 = -\frac{a}{2} \vec{i} + \frac{\sqrt{3}}{2} a \vec{j};$$

$$\vec{a}_3 = c \vec{k};$$

试求倒格子基矢并画出 第一布里渊区。

解：
$$v = \vec{a}_1 \cdot (\vec{a}_2 \times \vec{a}_3) = \frac{\sqrt{3}}{2} a^2 c;$$

$$\vec{b}_1 = \frac{2\pi}{v} (\vec{a}_2 \times \vec{a}_3) = \frac{2\pi}{a} \vec{i} + \frac{2\pi}{\sqrt{3}a} \vec{j};$$

$$\vec{b}_2 = \frac{2\pi}{v} (\vec{a}_3 \times \vec{a}_1) = -\frac{2\pi}{a} \vec{i} + \frac{2\pi}{\sqrt{3}a} \vec{j};$$

$$\vec{b}_3 = \frac{2\pi}{v} (\vec{a}_1 \times \vec{a}_2) = \frac{2\pi}{c} \vec{k};$$

第一布里渊区为六棱柱

1—7试求金刚石的结构因子，并讨论X射线衍射消失的条件。

解：考虑一个晶胞，独立的原子共有8个：顶点一个、面心三个、体心四个；8个原子的坐标为：

$$\begin{aligned}\vec{r}_1 &= (0 \quad 0 \quad 0); & \vec{r}_5 &= \frac{a}{4}(1 \quad 1 \quad 1); \\ \vec{r}_2 &= \left(\frac{a}{2} \quad \frac{a}{2} \quad 0\right); & \vec{r}_6 &= \frac{a}{4}(3 \quad 3 \quad 1); \\ \vec{r}_3 &= \left(\frac{a}{2} \quad 0 \quad \frac{a}{2}\right); & \vec{r}_7 &= \frac{a}{4}(3 \quad 1 \quad 3); \\ \vec{r}_4 &= \left(0 \quad \frac{a}{2} \quad \frac{a}{2}\right); & \vec{r}_8 &= \frac{a}{4}(1 \quad 3 \quad 3);\end{aligned}$$

则 $S(\vec{G}) = \sum_{j=1}^8 f_j e^{i\vec{G} \cdot \vec{r}_j}$ ； 其中， $\vec{G} = \frac{2\pi}{a}(n_1\vec{i} + n_2\vec{j} + n_3\vec{k})$

简单立方的倒格矢； $f_1 = f_2 = \dots = f_8$

$$\begin{aligned} \therefore S(\vec{G}) = & f[1 + e^{i(n_1+n_2)\pi} + e^{i(n_1+n_3)\pi} + e^{i(n_2+n_3)\pi} \\ & + e^{i\frac{\pi}{2}(n_1+n_2+n_3)} + e^{i\frac{\pi}{2}(3n_1+3n_2+n_3)} + e^{i\frac{\pi}{2}(3n_1+n_2+3n_3)} \\ & + e^{i\frac{\pi}{2}(n_1+3n_2+3n_3)}] \end{aligned}$$

$$= f[1 + e^{i(n_1+n_2)\pi} + e^{i(n_1+n_3)\pi} + e^{i(n_2+n_3)\pi}] \\ \cdot [1 + e^{i\frac{\pi}{2}(n_1+n_2+n_3)}]$$

消光条件为：

$$\begin{cases} n_1 + n_2 + n_3 = 2(2N + 1), N \text{为整数;} \\ n_1, n_2, n_3 \text{中有二奇一偶或二偶一奇} \end{cases}$$

2-1证明一维 $NaCl$ 晶格的马德隆常数 $\alpha = 2\ln 2$.

证明：任选一参考离子 i ，则左右两侧对称分布，

令 $r_{ij} = a_j a$ ；这里 a 为晶格常数（正负离子最近距离）

那么，有：

$$\alpha = \sum_j \pm \frac{1}{a_j} = 2 \left[\frac{1}{1} - \frac{1}{2} + \frac{1}{3} - \frac{1}{4} + \dots \right];$$

其中，异号为 $+$ ；同号为 $-$ 。

利用展开式： $\ln(1+x) = x - \frac{x^2}{2} + \frac{x^3}{3} - \frac{x^4}{4} + \dots$

令 $x = 1$, 得： $\ln 2 = 1 - \frac{1}{2} + \frac{1}{3} - \frac{1}{4} + \dots$

$$\therefore \alpha = 2 \ln 2$$

2-2 若离子间的排斥势用 $\lambda e^{-r/\rho}$ 来表示，只考虑最近邻离子间的排斥作用，试导出离子晶体结合能的表达式，并讨论参数 λ 和 ρ 应如何决定。

解：设最近邻离子间距离为 r ，则 $r_{ij} = a_j r$ （以 i 离子为原点）

$$u(r_{ij}) = \begin{cases} \lambda e^{-r_{ij}/\rho} - \frac{e^2}{4\pi\epsilon_0 r_{ij}}, & (\text{最近邻}, r_{ij} = r) \\ \pm \frac{e^2}{4\pi\epsilon_0 r_{ij}}, & (\text{最近邻以外}) \end{cases}$$

总相互作用能为：

$$U = -\frac{N}{2} \left[\frac{e^2}{4\pi\epsilon_0 r} \sum_{j(\neq i)}^N \pm \frac{1}{a_j} - \sum_{\text{最近邻}} \lambda e^{-r/\rho} \right]$$

$$\therefore U = \frac{N}{2} \left[-\frac{\alpha e^2}{4\pi\epsilon_0 r} + Z\lambda e^{-r/\rho} \right]; \dots\dots\dots (1)$$

其中Z为最近邻离子数

由平衡条件： $\left(\frac{\partial U}{\partial r} \right)_{r=r_0} = 0$ ； 得：

$$\frac{\rho \alpha e^2}{4\pi\epsilon_0 r_0^2} = Z\lambda e^{-r_0/\rho} \dots\dots\dots (2)$$

$$\text{得: } U = \frac{N}{2} \frac{\alpha e^2}{4\pi\epsilon_0 r_0} \left[\frac{\rho}{r_0} - 1 \right] \dots\dots\dots(3)$$

$$\text{结合能 } E_c = -U(r_0)$$

对于NaCl等离子晶体:

$$K = \frac{1}{9Nr_0} \left(\frac{\partial^2 U}{\partial r^2} \right)_{r=r_0} \dots\dots\dots(4)$$

$$\therefore K = \frac{1}{18r_0} \left[\frac{-2\alpha e^2}{4\pi\epsilon_0} \frac{1}{r_0^3} + \frac{Z\lambda}{\rho^2} e^{-r_0/\rho} \right] \dots\dots\dots(5)$$

将(2)代入(5)得：

$$K = \frac{1}{18r_0} \left[-\frac{2\alpha e^2}{4\pi\epsilon_0 r_0^3} + \frac{\alpha e^2}{4\pi\epsilon_0 r_0^2} \cdot \frac{1}{\rho} \right] \dots\dots\dots(6)$$

$$\therefore \rho = \frac{\alpha e^2 r_0}{2\alpha e^2 + 72\pi\epsilon_0 r_0^4 K} \dots\dots\dots(7)$$

$$\text{由(2)得： } \lambda = \frac{\rho \alpha e^2}{4\pi\epsilon_0 r_0^2 Z} e^{r_0/\rho} \dots\dots\dots(8)$$

2-3 如果NaCl晶体中离子的电荷增加一倍，假定排斥势不变，试估计晶体的结合能以及离子间的平衡距离将产生多大变化？

解：总相互作用能 $U = -\frac{N}{2} \left(\frac{\alpha e^2}{4\pi\epsilon_0 r} - \frac{B}{r^n} \right) \dots\dots\dots(1)$

$$\left(\frac{\partial U}{\partial r} \right)_{r=r_0} = \frac{N}{2} \left(\frac{\alpha e^2}{4\pi\epsilon_0 r_0^2} - \frac{nB}{r_0^{n+1}} \right) = 0 \dots\dots\dots(2)$$

得： $r_0 = \left(\frac{4\pi\epsilon_0 nB}{\alpha e^2} \right)^{\frac{1}{n-1}} \dots\dots\dots(2')$

由(2)得: $B = \frac{\alpha e^2}{4\pi\epsilon_0 n} r_0^{n-1} \dots\dots\dots(3)$

(3)代入(1)得: $U(r_0) = -\frac{N\alpha e^2}{8\pi\epsilon_0 r_0} \left(1 - \frac{1}{n}\right) \dots\dots\dots(4)$

当电荷由 e 变为 $2e$ 时, 由(2')和(4)可知:

$$\frac{r_0(2e)}{r_0(e)} = 4^{\frac{1}{1-n}}$$

$$\frac{U(2e)}{U(e)} = 4^{\frac{n}{n-1}}$$

3-1 在一维单原子晶格中，若考虑每一原子与其余所有原子都有作用，在简谐近似下求格波的色散关系。

解：在简谐近似下：

$$U = \frac{1}{2} \sum_{i \neq j} \phi(x_{ij}^0 - u_{ij}) = U_0 + \frac{1}{4} \sum_{i \neq j} \beta_{ij} u_{ij}^2$$

第 n 个原子的运动方程：

$$m \frac{d^2 u_n}{dt^2} = - \frac{\partial U}{\partial u_n} = - \frac{1}{4} \frac{\partial}{\partial u_n} \left(\sum_{i \neq j} \beta_{ij} u_{ij}^2 \right)$$

$$\text{右边} = -\frac{1}{4} \frac{\partial}{\partial u_n} \left(\sum_{i(\neq n)} \beta_{in} u_{in}^2 + \sum_{j(\neq n)} \beta_{nj} u_{nj}^2 \right)$$

$$= -\frac{1}{4} \frac{\partial}{\partial u_n} \left(\sum_{i(\neq n)} \beta_{in} (u_n - u_i)^2 + \sum_{j(\neq n)} \beta_{nj} (u_j - u_n)^2 \right)$$

$$= -\frac{1}{2} \left(\sum_{i(\neq n)} \beta_{in} (u_n - u_i) - \sum_{j(\neq n)} \beta_{nj} (u_j - u_n) \right)$$

$$= \sum_{i(\neq n)} \beta_{in} (u_i - u_n)$$

$$= \sum_p \beta_p (u_{n+p} + u_{n-p} - 2u_n)$$

设 $u_n = Ae^{-i(\omega t - naq)}$ 代入上式得：

$$-m\omega^2 Ae^{-i(\omega t - naq)} = \sum_p \beta_p (Ae^{-i(\omega t - (n+p)aq)} + Ae^{-i(\omega t - (n-p)aq)} - 2u_n)$$

整理，得：

$$\omega^2 = \frac{2}{m} \sum_p \beta_p (1 - \cos paq)$$

3-2 设有一维双原子晶格，两种原子的质量相等，最近邻原子间的力常数交错地等于 β_1 和 β_2 ，试求格波的色散关系。

解：

$$m \frac{d^2 u_n}{dt^2} = \beta_1 (\nu_{n-1} - u_n) + \beta_2 (\nu_n - u_n)$$

$$= \beta_1 \nu_{n-1} + \beta_2 \nu_n - (\beta_1 + \beta_2) u_n$$

$$m \frac{d^2 \nu_n}{dt^2} = \beta_2 (u_n - \nu_n) + \beta_1 (u_{n+1} - \nu_n)$$

$$= \beta_2 u_n + \beta_1 u_{n+1} - (\beta_1 + \beta_2) \nu_n$$

试探解： $u_n = Ae^{-i(naq-\omega t)}$; $v_n = Be^{-i(naq-\omega t)}$

代入方程，得： $-m\omega^2 A = \beta_1 Be^{iaq} + \beta_2 B - (\beta_1 + \beta_2) A$

$-m\omega^2 B = \beta_1 Ae^{-iaq} + \beta_2 A - (\beta_1 + \beta_2) B$

$$\begin{vmatrix} (\beta_1 + \beta_2) - m\omega^2 & -(\beta_1 e^{iaq} + \beta_2) \\ \beta_2 + \beta_1 e^{-iaq} & m\omega^2 - (\beta_1 + \beta_2) \end{vmatrix} = 0$$

经计算，得：

$$\omega^2 = \frac{\beta_1 + \beta_2 \pm \sqrt{\beta_1^2 + \beta_2^2 + 2\beta_1\beta_2 \cos aq}}{m}$$

3-3 已知一维单原子晶格的格波色散关系为

$$\omega^2(q) = \frac{2\beta}{M}(1 - \cos qa)$$

试求：(1) 格波的模密度 $g(\omega)$ ；

(2) 低温下晶格热容与温度 的比例关系。

解：一维时，模密度 $g(\omega) = \frac{l}{2\pi} \int dq \delta(\omega - \omega(q))$

由色散关系，得： $\cos aq = 1 - \frac{M}{2\beta} \omega^2$ ；

$$2\omega d\omega = \frac{2\beta a}{M} \sin aq dq$$

$$\therefore \mathrm{d}q = \frac{\omega \mathrm{d}\omega}{\frac{\beta a}{M} \left(\frac{M}{\beta} \omega^2 - \frac{M^2}{4\beta^2} \omega^4 \right)^{1/2}}$$

$$g(\omega) = \frac{l}{2\pi} \cdot 2 \int_0^{\omega_m} \omega(q) \mathrm{d}\omega(q) \frac{\delta(\omega - \omega(q))}{\frac{\beta a}{M} \left(\frac{M}{\beta} \omega^2(q) - \frac{M^2}{4\beta^2} \omega^4(q) \right)^{1/2}}$$

$$= \frac{l}{\pi} \frac{\omega}{\frac{\beta a}{M} \left(\frac{M}{\beta} \omega^2 - \frac{M^2}{4\beta^2} \omega^4 \right)^{1/2}}$$

晶格热容： $C_v = \left(\frac{\partial E}{\partial T} \right)_v = \frac{\partial}{\partial T} \int_0^{\omega_m} g(\omega) d\omega \frac{\hbar \omega}{\exp(\hbar \omega / k_B T) - 1}$

略去 ω^4 项，（因为低温， $\omega \ll 1$ ）

$$\begin{aligned} \therefore C_v &= \frac{\partial}{\partial T} \int_0^{\omega_m} \frac{l}{\pi} \frac{\omega}{\frac{\beta a}{M} \cdot \sqrt{\frac{M}{\beta}} \omega} d\omega \frac{\hbar \omega}{e^{\frac{\hbar \omega}{k_B T}} - 1} \\ &= \frac{l}{\pi a} \sqrt{\frac{M}{\beta}} \frac{\partial}{\partial T} \int_0^{\infty} \frac{\hbar \omega}{e^{\frac{\hbar \omega}{k_B T}} - 1} d\omega \end{aligned}$$

（因为低温，频率低的占主要，所以上限可以近似为无穷大）

$$= \frac{l}{\pi a} \sqrt{\frac{M}{\beta}} \frac{k_{\text{B}}^2 T}{\hbar} \int_0^{\infty} \frac{x^2 e^x}{(e^x - 1)^2} dx$$

经计算，上面积分 = $\frac{\pi^2}{3}$

$$\therefore C_v = \frac{\pi l k_{\text{B}}^2}{3 a \hbar} \sqrt{\frac{M}{\beta}} \cdot T$$

3-4 将德拜模型用于一维晶格，求低温下晶格热容与温度的关系，并和上题的结果进行比较，讨论德拜模型的合理性。

解：对于德拜模型，有色散关系： $\omega = cq$

$$\therefore d\omega = cdq$$

$$\therefore g(\omega) = \frac{l}{2\pi} \int_{-\infty}^{+\infty} dq \cdot \delta(\omega - \omega(q))$$

$$= \frac{l}{\pi} \frac{1}{c} \int_0^{\infty} d\omega \cdot \delta(\omega - \omega(q)) = \frac{l}{\pi c}$$

$$\therefore C_v = \frac{\partial}{\partial T} \int_0^{\infty} d\omega \cdot g(\omega) \frac{\hbar \omega}{e^{\frac{\hbar \omega}{k_B T}} - 1} = \frac{l}{\pi c} \frac{k_B^2 T}{\hbar} \int_0^{\infty} \frac{x^2 e^x}{(e^x - 1)^2} dx$$

$$\text{上面积分} = \frac{\pi^2}{3} \quad \therefore C_v = \frac{l \pi k_B^2}{3 c \hbar} \cdot T$$

与上题结果比较，都与 T 成正比，说明德拜模型有其合理性，尤其是低温的情况下。

3—5设想在一维单原子晶格中，只激发出一个动量为 $\hbar q (q \neq 0)$ 的声子，试证明晶体并不因此而获得物理动量。

证明：先证下面的式子：

$$\frac{1}{N} \sum_n e^{ina(q_l - q_{l'})} = \delta_{ll'} = \begin{cases} 1, & l = l' \\ 0, & l \neq l' \end{cases}$$

$l = l'$ 时，显然成立。

$$l \neq l' \text{ 时, 左边} = \frac{1}{N} \sum_n e^{ina \cdot \frac{2\pi}{Na}(l-l')} = \frac{1}{N} \sum_n e^{in \frac{l-l'}{N} 2\pi}$$

$$= \frac{1}{N} \cdot \frac{e^{i\frac{l-l'}{N}2\pi} (1 - e^{i\frac{l-l'}{N}2\pi N})}{1 - e^{i\frac{l-l'}{N}2\pi}} = 0$$

晶体物理动量 $p = \sum_n M \dot{u}_n = -i\omega M e^{-i\omega t} \sum_n e^{inqa}$

$$= 0$$

\therefore 结论成立。

3-6 设有晶格常数为 a 的一维单原子晶格，考虑波矢落在布里渊区边界上的振动模式：

- (1) 画出这种振动模式在某一时刻原子的位移方向；
- (2) 若在某一温度下这种振动模式的频率趋于零，这时原子的位移被“冻结”，晶体结构发生变化，试说明所形成的新结构。

解：(1) 一维晶格位移 $u_n = Ae^{-i(\omega t - naq)}$

对于布里渊区边界，有 $q = \pm \frac{\pi}{a}$ ，

$$\therefore u_n = A e^{-i(\omega t \mp n\pi)} = (-1)^n A e^{-i\omega t}$$

任何时刻原子运动的位移在量值上相同，只是

相邻原子的位移方向相反，即： $\frac{u_n}{u_{n+1}} = -1$

(2)当 $\omega \rightarrow 0$ 时，振动至不能恢复，此时的位移为 $(-1)^n A$ ，形成的新晶格是两原子互相靠近。

4—1铜的空位形成能约为1.26eV，间隙原子的形成能约为4eV，试估计接近熔点（1300K）时空位和间隙原子的浓度，并比较两者的数量级。

解：对于空位，主要由肖脱基缺陷引起，

$$n_{\text{空}} = Ne^{-\frac{u}{k_B T}}$$

$$\therefore \text{空位浓度} \frac{n_{\text{空}}}{N} = e^{-\frac{u}{k_B T}} = e^{-\frac{1.26 \times 1.6 \times 10^{-19}}{1.38 \times 10^{-23} \times 1300}} = 1.32 \times 10^{-5}$$

对于间隙原子，由夫伦克尔缺陷引起：

$$n_{\text{间}} = (NN')^{\frac{1}{2}} e^{-\frac{u}{2k_B T}} \approx Ne^{-\frac{u}{2k_B T}}$$

$$\therefore \text{间隙原子浓度} \frac{n_{\text{间}}}{N} = e^{-\frac{u}{2k_{\text{B}}T}} = e^{-\frac{4 \times 1.6 \times 10^{-19}}{2 \times 1.38 \times 10^{-23} \times 1300}} = 1.79 \times 10^{-8}$$

二者差约3个量级。

4-2 试求产生 n 个肖脱基缺陷后晶体体积的变化以及对晶体热容的贡献。

解：产生 n 个肖脱基缺陷就意味着有 n 个原子从晶体内移动到表面上，这样，晶格的格点就由原来的 N 个增加到 $N + n$ 个，

令原来的晶体体积为 V_0 ，那么每个原子所占的体积为 $\frac{V_0}{N}$ ，

$$\therefore \text{后来的体积 } V = V_0 + \frac{V_0}{N} n = V_0 \left(1 + \frac{n}{N} \right)$$

$$\text{体积变化为 } V - V_0 = \frac{V_0}{N} n$$

产生 n 个肖脱基缺陷，晶体的能量变化为 nu ，

$$\text{而 } C_V = \left(\frac{\partial E}{\partial T} \right)_V$$

$$\therefore \Delta C_V = \left(\frac{\partial \Delta E}{\partial T} \right)_V = \left(\frac{\partial nu}{\partial T} \right)_V = u \frac{\partial n}{\partial T}$$

$$\text{而 } n = N e^{-\frac{u}{k_B T}}$$

$$\therefore \frac{\partial n}{\partial T} = N e^{-\frac{u}{k_B T}} \cdot \left(-\frac{u}{k_B} \right) \cdot \frac{(-1)}{T^2} = \frac{Nu}{k_B T^2} e^{-\frac{u}{k_B T}}$$

$$\therefore \Delta C_V = \frac{Nu^2}{k_B T^2} e^{-\frac{u}{k_B T}} = \frac{nu^2}{k_B T^2}$$

5-1 导出一维、二维和三维自由电子气的能态密度 $g(E)$ ，画出 $g(E)$ 随 E 的变化曲线，并讨论体系维度对物理性质的影响。

解： $E = \frac{\hbar^2 k^2}{2m} \Rightarrow k = \left(\frac{2m}{\hbar^2} E \right)^{\frac{1}{2}}$

一维： E 以下的状态数 $Z = 2 \cdot \frac{L}{2\pi} \cdot 2k = \frac{2L}{\pi} \left(\frac{2m}{\hbar^2} E \right)^{\frac{1}{2}}$

$$= \frac{2L\sqrt{2m}}{\pi\hbar} E^{\frac{1}{2}}$$

$$g(E) = \frac{L\sqrt{2m}}{\pi\hbar} E^{-\frac{1}{2}} = \frac{N\sqrt{2m}}{n\pi\hbar} E^{-\frac{1}{2}}$$

二维： $Z = 2 \left(\frac{L}{2\pi} \right)^2 \cdot \pi k^2 = \frac{L^2}{2\pi} k^2 = \frac{L^2}{2\pi} \cdot \frac{2m}{\hbar^2} E$

$$\therefore g(E) = \frac{L^2 m}{\pi \hbar^2} = \frac{Nm}{n\pi \hbar^2}$$

三维： $Z = 2 \left(\frac{L}{2\pi} \right)^3 \cdot \frac{4\pi}{3} \left(\frac{2mE}{\hbar^2} \right)^{\frac{3}{2}} = \frac{V}{3\pi^2} \left(\frac{2mE}{\hbar^2} \right)^{\frac{3}{2}}$

$$\therefore g(E) = \frac{V}{2\pi^2} \cdot \left(\frac{2m}{\hbar^2} \right)^{\frac{3}{2}} \cdot E^{\frac{1}{2}}$$

5-2 证明二维自由电子气的化学势为：

$$\mu(T) = k_B T \ln \left[e^{\pi \hbar^2 n / m k_B T} - 1 \right]$$

n 为单位面积上的电子数。

证明：由 $N = \int_0^{\infty} f(E) g(E) dE$ 可以求 $\mu(T)$ 。

二维自由电子气的 $0 \rightarrow E$ 间的状态数 $Z = \frac{Nm}{n\pi\hbar^2} E$

$$g(E) = \frac{dZ}{dE} = \frac{Nm}{n\pi\hbar^2}$$

$$\begin{aligned}
\therefore N &= \int_0^{\infty} f(E)g(E)dE = \int_0^{\infty} \frac{Nm / n\pi\hbar^2}{e^{(E-\mu)/k_B T} + 1} dE \\
&= \int_0^{\infty} \frac{Nm k_B T}{n\pi\hbar^2} \frac{d\left(\frac{E-\mu}{k_B T}\right)}{e^{(E-\mu)/k_B T} + 1} = \frac{Nm k_B T}{n\pi\hbar^2} \int_{-\frac{\mu}{k_B T}}^{\infty} \frac{dx}{e^x + 1} \\
&= \frac{Nm k_B T}{n\pi\hbar^2} \int_{-\frac{\mu}{k_B T}}^{\infty} \frac{e^{-x} dx}{e^{-x} + 1} = \frac{Nm k_B T}{n\pi\hbar^2} \int_{-\frac{\mu}{k_B T}}^{\infty} \frac{-d(e^{-x} + 1)}{e^{-x} + 1} \\
&= \frac{-Nm k_B T}{n\pi\hbar^2} \ln[e^{-x} + 1] \Big|_{-\frac{\mu}{k_B T}}^{\infty} = \frac{Nm k_B T}{n\pi\hbar^2} \ln \left[e^{\frac{\mu}{k_B T}} + 1 \right]
\end{aligned}$$

$$\Rightarrow \frac{n\pi\hbar^2}{mk_{\text{B}}T} = \ln \left[\text{e}^{\frac{\mu}{k_{\text{B}}T}} + 1 \right]$$

$$\Rightarrow \mu = k_{\text{B}}T \ln \left(\text{e}^{\frac{n\pi\hbar^2}{mk_{\text{B}}T}} - 1 \right)$$

5-3 试根据自由电子气量子理论的结果导出 *Lorentz* 数 L 的表达式，并与经典理论的结果比较。

解：根据量子理论：
$$C_e = \frac{\pi^2}{2} n k_B \left(\frac{k_B T}{E_F} \right)$$

$$\sigma = \frac{ne^2 \tau}{m}$$

$$\text{热导率 } K = \frac{1}{3} C_e v l = \frac{1}{3} C_e v^2 \tau = \frac{1}{3} C_e \frac{2E_F}{m} \tau$$

$$= \frac{1}{3} \frac{\pi^2}{2} n k_B \left(\frac{k_B T}{E_F} \right) \frac{2E_F}{m} \tau = \frac{\pi^2}{3} \frac{n k_B^2 \tau}{m} \cdot T$$

$$\therefore \frac{K}{\sigma} = \frac{\frac{\pi^2}{3} \frac{nk_{\text{B}}^2 \tau}{m} \cdot T}{\frac{ne^2 \tau}{m}} = \frac{\pi^2}{3} \left(\frac{k_{\text{B}}}{e} \right)^2 \cdot T$$

$$\therefore \text{劳伦兹数 } L = \frac{\pi^2}{3} \left(\frac{k_{\text{B}}}{e} \right)^2$$

与书上经典结果对比。

5-4 若金属中传导电子的碰撞阻力用 $-\frac{p}{\tau}$ 来表示, p 是电子动量, 试求金属在交变电场中的电导率。

解: 在电场 E 作用下电子的运动方程 (假定 E 沿 x 方向) :

$$m \frac{d\nu}{dt} = -eE - \frac{p}{\tau} = -eE - \frac{m\nu}{\tau}$$

$$\therefore m \left(\frac{d\nu}{dt} + \frac{\nu}{\tau} \right) = -eE$$

设: $E = E_0 e^{-i\omega t}$, $\nu = \nu_0 e^{-i\omega t}$, $x = x_0 e^{-i\omega t}$, 则:

(电子能够跟上电场的 频率)

$$\left(-\mathrm{i}\omega + \frac{1}{\tau}\right)v = -\frac{e}{m}E$$

$$\therefore v = \frac{-(\mathrm{i}\omega\tau + 1)}{\omega^2\tau^2 + 1} \frac{e\tau}{m} E$$

$$\therefore \sigma(\omega) = \frac{j}{E} = \frac{-nev}{E} = \frac{1 + \mathrm{i}\omega\tau}{1 + \omega^2\tau^2} \cdot \frac{ne^2\tau}{m}$$

6-1 设有单价原子组成的一维晶格，晶格常数为 a ，晶体中的单电子势 $V(x)$ 由原子势叠加而成，即

$$V(x) = - \sum_n A \delta(x - na)$$

式中 A 为常量，是 δ 函数势的强度， n 为整数，自由原子的归一化电子波函数为

$$\varphi(x) = \beta^{1/2} e^{-\beta|x|}$$

能量为 E_0 ，试用紧束缚近似证明价电子的能量为

$$E(k) = E_0 - 2A\beta e^{-\beta a} \cos ka$$

解：由紧束缚近似， $E(\vec{k}) = E'_0 - \beta' - \sum_{(n,n)} e^{i\vec{k} \cdot \vec{R}_m} \gamma'(\vec{R}_m)$

(1)求 β' ：

$$\Delta V(x) = -\sum_n A\delta(x-na) + A\delta(x)$$

$$\begin{aligned}\beta' &= -\int \varphi^*(x) \Delta V(x) \varphi(x) dx \\&= -\beta \int dx \cdot e^{-2\beta|x|} [-\sum_n A\delta(x-na) + A\delta(x)] \\&= -A\beta + \beta \int dx \cdot e^{-2\beta|x|} \sum_n A\delta(x-na) \\&= -A\beta + A\beta \sum_n e^{-2\beta|n|a} \\&= A\beta \sum_{n \neq 0} e^{-2\beta a|n|}\end{aligned}$$

(2)求 γ' :

$$\gamma' = -\int \varphi^*(x) \Delta V(x) \varphi(x - na) dx; \quad (n \neq 0, n = \pm 1)$$

$$\begin{aligned} \text{当 } n = 1 \text{ 时, } \gamma'_1 &= -\int \beta^{1/2} e^{-\beta|x|} \cdot \beta^{1/2} e^{-\beta|x-a|} \cdot \Delta V(x) dx \\ &= -\beta \int e^{-\beta|x|} \cdot e^{-\beta|x-a|} \cdot \left[-\sum_{n' \neq 0} A \delta(x - n'a) \right] dx \\ &= \beta A \sum_{n' \neq 0} e^{-\beta a[|n'| + |n'-1|]} = \beta A e^{-\beta a} \\ &\quad \text{(忽略高阶项)} \end{aligned}$$

(原子波函数在其它原子上几率小, $e^{-\beta a}$ 为小量)

$$\text{同理: } \gamma'_{-1} = \beta A e^{-\beta a}$$

$$\therefore E(k) = E'_0 - 2\beta A e^{-2\beta a} - [e^{ika} \gamma'_1 + e^{-ika} \gamma'_{-1}] = E_0 - 2\beta A e^{-\beta a} \cos ka$$

6-2 利用紧束缚近似导出的 s 带能量的一般公式

$$E(\vec{k}) = E'_0 - \beta' - \sum_{(n,n)} e^{i\vec{k} \cdot \vec{R}_m} \gamma'(\vec{R}_m)$$

对 m 的求和只限于最近邻，试求 bcc 和 fcc 晶格 s 带的能量 $E(k)$ 。

解：(1) 对于 bcc ：

最近邻原子数 8 个； 坐标 $(\pm \frac{a}{2}, \pm \frac{a}{2}, \pm \frac{a}{2})$

代入上式，得：

$$\begin{aligned} E_s(\vec{k}) &= E_s - \beta - \gamma \left[e^{i(k_x \frac{a}{2} + k_y \frac{a}{2} + k_z \frac{a}{2})} + e^{i(-\frac{a}{2}k_x + \frac{a}{2}k_y + \frac{a}{2}k_z)} + \dots + e^{i(-\frac{a}{2}k_x - \frac{a}{2}k_y - \frac{a}{2}k_z)} \right] \\ &= E_s - \beta - 8\gamma \cos \frac{1}{2}k_x a \cos \frac{1}{2}k_y a \cos \frac{1}{2}k_z a \end{aligned}$$

(2)对于fcc: 最近邻原子数12个。

坐标 $(0, \pm \frac{a}{2}, \pm \frac{a}{2}), (\pm \frac{a}{2}, 0, \pm \frac{a}{2}), (\pm \frac{a}{2}, \pm \frac{a}{2}, 0)$

代入, 得:

$$E_s(\vec{k}) = E_s - \beta - \gamma \left[e^{i(k_y \frac{a}{2} + k_z \frac{a}{2})} + e^{-i(k_y \frac{a}{2} + k_z \frac{a}{2})} + \dots \right]$$

$$= E_s - \beta - 4\gamma \left(\cos \frac{1}{2} k_x a \cos \frac{1}{2} k_y a + \cos \frac{1}{2} k_x a \cos \frac{1}{2} k_z a + \cos \frac{1}{2} k_y a \cos \frac{1}{2} k_z a \right)$$

6-3 已知简单立方晶格 s 带的能量为

$$E(\vec{k}) = E_s - \beta - 2\gamma(\cos k_x a + \cos k_y a + \cos k_z a),$$

试求：能带极值附近电子的有效质量及能态密度。

解：带顶： $(\pm \frac{\pi}{a}, \pm \frac{\pi}{a}, \pm \frac{\pi}{a})$ ，带底： $(0, 0, 0)$

$$\frac{\partial^2 E}{\partial k_x^2} = 2\gamma a^2 \cos k_x a$$

$$\frac{\partial^2 E}{\partial k_y^2} = 2\gamma a^2 \cos k_y a$$

$$\frac{\partial^2 E}{\partial k_z^2} = 2\gamma a^2 \cos k_z a$$

对于带顶：

$$m_{xx}^* = \frac{\hbar^2}{\frac{\partial^2 E}{\partial k_x^2}} = \frac{-\hbar^2}{2\gamma a^2} \quad m_{yy}^* = m_{zz}^* = m_{xx}^*$$

$\left(\frac{\pi}{a} \quad \frac{\pi}{a} \quad \frac{\pi}{a}\right)$ 附近，有：

$$\begin{aligned} E(\vec{k}) &= E_s - \beta - 2\gamma(-1 + \frac{1}{2}a^2(k_x - \frac{\pi}{a})^2 - 1 + \frac{1}{2}a^2(k_y - \frac{\pi}{a})^2 - 1 + \frac{1}{2}a^2(k_z - \frac{\pi}{a})^2) \\ &= E_s - \beta + 6\gamma - a^2\gamma \left[\left(k_x - \frac{\pi}{a}\right)^2 + \left(k_y - \frac{\pi}{a}\right)^2 + \left(k_z - \frac{\pi}{a}\right)^2 \right] \end{aligned}$$

$$\text{令: } E_0 = E_s - \beta + 6\gamma; \quad k'_x = k_x - \frac{\pi}{a}; \quad k'_y = k_y - \frac{\pi}{a}$$

$$k'_z = k_z - \frac{\pi}{a}$$

$$\text{则: } E(\vec{k}) = E(\vec{k}') = E_0 - a^2 \gamma k'^2$$

$$\Rightarrow k'^2 = \frac{E_0 - E(\vec{k}')}{\gamma a^2}; \quad dk' = \frac{-1}{2\gamma a^2} \frac{1}{\sqrt{\frac{E_0 - E(\vec{k}')}{\gamma a^2}}} dE(\vec{k}')$$

$$\begin{aligned}
g(E) &= \frac{V}{4\pi^3} \int \delta(E - E(\vec{k}')) d^3k' \\
&= \frac{V}{4\pi^3} \int_0^\infty \delta(E - E(\vec{k}')) 4\pi k'^2 dk' \\
&= \frac{V}{4\pi^3} \int_{E_0}^{-\infty} \delta(E - E(\vec{k}')) 4\pi \sqrt{\frac{E_0 - E(\vec{k}'))}{\gamma a^2}} \left(\frac{-1}{2\gamma a^2} \right) dE(\vec{k}') \\
&= \frac{V}{4\pi^3} \int_{-\infty}^{E_0} \delta(E - E(\vec{k}')) 4\pi \left(\frac{1}{2\gamma a^2} \right) \sqrt{\frac{E_0 - E(\vec{k}'))}{\gamma a^2}} dE(\vec{k}') \\
&= \frac{V}{4\pi^3} \cdot 4\pi \cdot \frac{1}{2\gamma a^2} \sqrt{\frac{E_0 - E}{\gamma a^2}}
\end{aligned}$$

$$g(E) = \frac{V}{2\pi^2} \frac{1}{(\gamma a)^{3/2}} (E_0 - E)^{1/2}$$

$$= \frac{V}{2\pi^2} \frac{1}{(\gamma a)^{3/2}} (E_s - \beta + 6\gamma - E)^{1/2}$$

对于带底：

$$m_{xx}^* = \frac{\hbar^2}{\frac{\partial^2 E}{\partial k_x^2}} = \frac{\hbar^2}{2\gamma a^2} ; \quad m_{yy}^* = m_{zz}^* = \frac{\hbar^2}{2\gamma a^2}$$

$(0 \ 0 \ 0)$ 附近，有：

$$\begin{aligned} E(\vec{k}) &= E_s - \beta - 2\gamma(1 - \frac{1}{2}a^2k_x^2 + 1 - \frac{1}{2}a^2k_y^2 + 1 - \frac{1}{2}a^2k_z^2) \\ &= E_s - \beta - 6\gamma + \gamma k^2 a^2 \\ &= E'_0 + \gamma k^2 a^2 \end{aligned}$$

$$\therefore k^2 = \frac{E(\vec{k}) - E'_0}{\gamma a^2} \quad dk = \frac{1}{2\sqrt{\gamma a^2} \cdot \sqrt{E(\vec{k}) - E'_0}} dE(\vec{k})$$

$$\therefore g(E) = \frac{V}{4\pi^3} \int \delta(E - E(\vec{k})) d^3k$$

$$= \frac{V}{4\pi^3} \int_0^\infty \delta(E - E(\vec{k})) 4\pi k^2 dk$$

$$= \frac{V}{4\pi^3} \int_{E'_0}^\infty \delta(E - E(\vec{k})) 4\pi \frac{E(\vec{k}) - E'_0}{\gamma a^2} \cdot \frac{dE(\vec{k})}{2\sqrt{\gamma a^2} \cdot \sqrt{E(\vec{k}) - E'_0}}$$

$$= \frac{V}{2\pi^2} \frac{1}{(\gamma a)^{3/2}} \cdot (E - E'_0)^{1/2}$$

$$g(E) = \frac{V}{2\pi^2} \frac{1}{(\gamma a)^{3/2}} (E - E_s + \beta + 6\gamma)^{1/2}$$

6-4 设有一维晶格，在 $t = 0$ 时电子处在能带底（设能量为零），此时沿晶格方向加静电场，试说明：

- (1) 电子在 \vec{k} 空间中的运动是周期性的，并求出周期；
- (2) 电子在 \vec{r} 空间中的运动是否也是周期的？

解：(1) 电子在 \vec{k} 空间的运动方程为：

$$\hbar \frac{d\vec{k}}{dt} = -e\vec{\mathcal{E}}$$
$$\therefore \vec{k}(t) = -\frac{e\vec{\mathcal{E}}}{\hbar}t \quad (\vec{k}(t=0) = 0)$$

只要证明 $\vec{k}(t)$ 与 $\vec{k}(t+T)$ 对应相同的状态，那么每经历时间 T ，就达到相同的状态，那么就可以说明在 \vec{k} 空间的运动是以 T 为周期的。

在晶体中， \vec{k} 与 $\vec{k} + \vec{G}$ 对应相同的状态，那么 $\vec{k}(t)$ 随时间增长，一定会达到 $\vec{k}(t+T) = \vec{k}(t) + \vec{G}$

即： $\vec{G} = -\frac{e\vec{\varepsilon}}{\hbar}T$ ， 而 $\vec{G} = \frac{2\pi}{a}\vec{i}$ (令 $\vec{\varepsilon} = -\varepsilon\vec{i}$)

$$\therefore T = \frac{2\pi\hbar}{e\varepsilon a}$$

(2)在真实空间中，有：

$$\vec{v}(\vec{k}) = \frac{1}{\hbar} \vec{\nabla}_{\vec{k}} E(\vec{k})$$

$$\vec{r}(t) = \int_0^t \vec{v}(t) dt$$

$$\vec{r}(t+T) = \int_0^{t+T} v(t) dt = \int_0^t v(t) dt + \int_t^{t+T} v(t) dt$$

$$\text{而} \int_t^{t+T} v(t) dt = \int_t^{t+T} v(\vec{k}(t)) \frac{dt}{dk} dk = -\frac{\hbar}{e\vec{\mathcal{E}}} \int_{k(t)}^{k(t+T)} v(k) dk$$

由于 $\upsilon(k)$ 是 k 的奇函数，所以 k 变化一个周期积分 $= 0$

$$\therefore \vec{r}(t + T) = \vec{r}(t)$$

即：电子在真实空间的运动也是周期性的，其周期与在 \vec{k} 空间相同。

6-5 接近自由电子近似，靠近布里渊区界面时，电子的能量

$$E(\vec{k}) = \frac{1}{2}[E^0(\vec{k}) + E^0(\vec{k} + \vec{G}_n)] \pm \frac{1}{2} \left\{ [E^0(\vec{k}) - E^0(\vec{k} + \vec{G}_n)]^2 + 4|V(\vec{G}_n)|^2 \right\}^{\frac{1}{2}}$$

试证明：电子的等能面与布里渊区界面垂直相交。

证：

$$\frac{\partial E_{\pm}(\vec{k})}{\partial \vec{k}} = \frac{1}{2} \frac{\hbar^2}{2m} \cdot 2\vec{k} + \frac{1}{2} \frac{\hbar^2}{2m} \cdot 2(\vec{k} + \vec{G}_n) \\ \pm \frac{1}{2} \cdot \frac{1}{2} \left\{ [E^0(\vec{k}) - E^0(\vec{k} + \vec{G}_n)]^2 + 4|V(\vec{G}_n)|^2 \right\}^{-1/2} \\ \times 2[E^0(\vec{k}) - E^0(\vec{k} + \vec{G}_n)] \cdot \frac{\hbar^2}{2m} \cdot 2[\vec{k} - \vec{k} - \vec{G}_n]$$

当 \vec{k} 端点落在布里渊区边界上时：

$$2\vec{k} \cdot \vec{G}_n + G_n^2 = 0 \Rightarrow E^0(\vec{k}) = E^0(\vec{k} + \vec{G}_n)$$

$$\therefore \frac{\partial E(\vec{k})}{\partial \vec{k}} = \frac{\hbar^2}{m} \left(\vec{k} + \frac{1}{2} \vec{G}_n \right)$$

$\frac{\partial E(\vec{k})}{\partial \vec{k}}$ 与等能面垂直；

而 $\vec{k} + \frac{1}{2} \vec{G}_n$ 的方向沿着布里渊区 $(-\vec{G}_n)$ 的边界；

所以，等能面与布里渊区边界垂直相交。

8—1设有二维矩形晶格，原胞边长为 a 和 $2a$ ，若每原子提供2个价电子，试分别用简约区图式和重复区图式画出自由电子的费米面，如果受到弱周期场的微扰，其费米面的形状发生什么变化？

解：设 $\vec{a}_1 = 2a\vec{i}$ ， $\vec{a}_2 = a\vec{j}$

$$\Rightarrow \text{倒格子基矢 } \vec{b}_1 = \frac{\pi}{a}\vec{i}, \quad \vec{b}_2 = \frac{2\pi}{a}\vec{j}$$

(1)先计算费米波矢 k_F

设原子数为 N ，则电子数 $2N$ ，面积 $S = Na2a = 2a^2N$

$$\text{倒空间中面积元为 } \frac{4\pi^2}{S} = \frac{4\pi^2}{2a^2N} = \frac{2\pi^2}{a^2N}$$

$$\frac{\pi k_F^2}{4\pi^2} \times 2 = 2N$$

$$\Rightarrow k_F = \frac{\sqrt{2\pi}}{a}$$

(2)第一区与第二区边界情况:

$$\frac{b_1}{2} = \frac{\pi}{2a} \qquad \frac{b_2}{2} = \frac{\pi}{a}$$

$$\frac{b_1}{2} < k_F < \frac{b_2}{2}$$

受到弱周期场的作用，在布里渊区边界附近，出现能隙，费米面与边界垂直相交。

8-3 有一半金属，其交叠的能带为：

$$E_1(\vec{k}) = E_1(0) - \frac{\hbar^2 k^2}{2m_1}$$

$$E_2(\vec{k}) = E_2(\vec{k}_0) + \frac{\hbar^2}{2m_2} (\vec{k} - \vec{k}_0)^2$$

$m_1 > m_2$ ， $E_1(0) > E_2(\vec{k}_0)$ ，试求： $T = 0\text{K}$ 时的费米能 E_F 。

解：设费米能为 E_F ，原来系统的电子数恰好填满第一个能带 $E_1(\vec{k})$ ，现在发生 E_1 与 E_2 的重叠，那么有部分 $E_1(\vec{k})$ 状态空着，而有一部分 $E_2(\vec{k})$ 的状态被填充，所以 $T = 0\text{K}$ 时， E_1 的空状态数与 E_2 的被占据状态数相同。

$$\text{即: } \int_{E_F}^{E_1(0)} g_1(E_1) dE_1 = \int_{E_2(k_0)}^{E_F} g_2(E_2) dE_2$$

$$\text{而 } g_1(E_1) = \frac{V}{2\pi^2} \left(\frac{2m_1}{\hbar^2} \right)^{3/2} [E_1(0) - E_1(\vec{k})]^{1/2}$$

$$g_2(E_2) = \frac{V}{2\pi^2} \left(\frac{2m_2}{\hbar^2} \right)^{3/2} [E_2(\vec{k}) - E_2(k_0)]^{1/2}$$

$$\text{代入, 得: } m_1^{3/2} \int_{E_F}^{E_1(0)} [E_1(0) - E]^{1/2} dE = m_2^{3/2} \int_{E_2(k_0)}^{E_F} [E - E_2(k_0)]^{1/2} dE$$

$$\Rightarrow m_1[E_1(0) - E_F] = m_2[E_F - E_2(k_0)]$$

$$\therefore E_F = E_1(0) - \frac{E_1(0) - E_2(k_0)}{1 + \frac{m_1}{m_2}}$$